

• Ecole Polytechnique de Thies
DEPARTEMENT de GENIE MECANIQUE
INDUSTRIEL

— INSTALLATION ELECTRIQUE d'une usine —

• soutenu par Damba SAGNA pour l'obtention du
grade d'ingenieur

Juin - 80

A

Toute ma famille , mon père - Amadou Gidjane en particulier.

A mon inseparable Mademba TMG.

REMERCIEMENTS

Je tiens à exprimer ma profonde gratitude à Monsieur Harvey GAGNE professeur d'électrotechnique, dont la constante disponibilité, les conseils tout au long du projet, ont grandement aidé à mener à bien cette présente étude.

SOMMAIRE

Ce projet a pour but de préparer le cahier de charges ainsi que les plans nécessaires pour la réalisation de l'installation électrique d'une usine. Comme données de base, nous avons :

- la puissance de court-circuit disponible par la SENELEC - 250 MVA triphasé, 30 KV.
- l'infrastructure destinée à recevoir les machines, leur nombre ainsi que la puissance estimée de chaque.

Partant de ces données nous allons effectuer le travail suivant :

- Aménager les machines à l'intérieur des locaux, tracer les chemins de cable, disposer les sous-stations et centres de commande moteur, puis tracer le diagramme unifilaire.
- Dresser le cahier de charges qui justifie le calibrage des éléments du diagramme unifilaire ainsi que le plan d'éclairage
- En dernier ressort nous allons examiner le volet financier de l'installation ainsi conçue.

TABLE des MATIERES

	Page
1 - INTRODUCTION	1
2 - SELECTION des MOTEURS	3
3 - ESTIMATION des CHARGES	5
4 - CALIBRE des CABLES	9
4.1 - Cable des machines	
4.2 - cables des transformateurs	
5 - ECLAIRAGE	14
5.1 - Cables d'éclairage	
6 - ETUDE des CHUTES de TENSION	29
7 - FACTEUR de PUISSANCE	26
8 - DESCRIPTION et UTILISATION de l'APPAREILLAGE ELECTRIQUE	30
8.1 - Entretien des moteurs	
8.2 - Demarrage des petits moteurs	
8.3 - Disjoncteur	
8.4 - Ampector WESTINGHOUSE	
8.5 - Sectionneur	
8.6 - Para foudre	
8.7 - Transfomateurs.	

8.8 - Design des barres omnibus	
8.9 - Cables	
8.10 - Mise à la terre	
9 - ANALYSE des Coûts	51
9.1 - Coût de l'éclairage	
9.2 - coût de l'appareillage	
10 - REFERENCES de CALCULS	54
10.1 - Valeurs par unité	
10.2 - Moteurs /m pedance	
10.3 - Cables Trans formateurs	
10.4 - Calculs des courants de court circuit	
10.5 - Eclairage des ateliers	
10.6 - Eclairage bureaux	
10.7 - Eclairage extérieur	
11 - CONCLUSION et DISCUSSIONS	73
11.1 - Conclusion	
11.2 - discussion	
12 - BIBLIOGRAPHIE	76

I. INTRODUCTION

Un homme vient de se faire électrocuter. Il a touché par mégarde à un conducteur mal protégé. Le disjoncteur a sauté immédiatement, tout s'arrête. Plus de moteur en marche, plus de lumière. C'est la paralysie totale.

De nos jours, l'électricité est devenue un produit de consommation de première nécessité tant sur le plan domestique qu'industriel. Il convient donc de l'utiliser le plus rationnellement possible. Néanmoins, le grand problème demeure toujours : il s'agit de dompter l'énergie électrique.

La maîtrise de cette forme d'énergie repose sur le choix judicieux des différents éléments électriques (câbles, transformateurs, disjoncteurs, relais etc...), leur emplacement, ainsi que les dispositions générales à prendre pour leur entretien, en vue de garantir au maximum la sécurité du présent matériel et surtout des personnes ayant accès à ce matériel. Le travail de l'ingénieur consiste justement à concevoir une combinaison optimale des différents appareillages électriques, appareillages qui permettront un contrôle

efficace du -courant électrique.

Dans cette présente étude, nous -ellons montrer en détail les différentes étapes -à suivre pour -aboutir -à l'installation électrique finale de notre usine .

2-SELECTION des MOTEURS

- Cette selection est basee sur le fait que le moteur ne fonctionnera qu'à 80% de sa puissance nominale.
- Et cause des temperatures ambiantes très elevees (40° à l'ombre), nous allons choisir la classe d'isolation B qui permet :
 - . un échauffement de 80°C par mesure de resistance
 - . une temperature limite du bobinage (échauffement + ambiance) de 120°C
- On utilisera des moteurs type LEROY-SOMER Construction fermée -à roulements à billes (qui sont suffisamment protégées contre les poussières et assez robustes) pour une vitesse de rotation standard de 1500 tours par minute (TPM).
- La figure 1.1 de la page suivante resume les caractéristiques de ces différents moteurs.

fig 1.1

Moteurs 3 ϕ , 50 Hz, 1500 TPM, classe B, rotor en court.circuit - LEROY-SOMER

Puissance (kw) demandée	choix	Type	I_N sous 380V (A)	I_D sous 380V (A)	Couple $\frac{C_N}{C_{max}}$	Facteur de Puissance	$1/4$	$1/2$	$3/4$	$4/4$
1	1.5	LS 90L	3.84	25	2.75	0.41	0.60	0.74	0.78	
3	4	LS 112M	8.8	56	2.36	0.42	0.65	0.78	0.84	
4	5.5	LS 132S	11.8	92	2.86	0.54	0.72	0.79	0.84	
10	15	LSN 160L	29.3	185	2.7	0.53	0.74	0.83	0.86	
30	37	LSN 225S	71	511	3	0.61	0.78	0.87	0.85	
50	75	N 280S	140.5	982	2.8	0.58	0.74	0.82	0.85	
100	132	LST 315M	244	1755	2.6	0.64	0.80	0.85	0.86	

3-ESTIMATION des CHARGES

Le type d'alimentation que nous avons retenue est le suivant : à partir du réseau SENELEC (30 KV, 3 ϕ) , on entre dans un premier transformateur qui abaisse la tension à 5.5 KV . On entre ensuite dans quatre autres transformateurs qui vont alimenter indépendamment les ateliers A, B, C et éclairer toute l'usine

Le tableau de charges des ateliers A, B, C (Fig 1.2 page 6) nous a donné les résultats suivants :

Demande globale - ATELIER A = 118 KVA Fdi = 130%

ATELIER B = 400 KVA Fdi = 130%

ATELIER C = 315 KVA Fdi = 125%

Fdi = Facteur de diversité de l'atelier

TABLEAU de CHARGES des ATELIERS A, B, C

fig 1.2

Eclairage des locaux

$$\begin{array}{lcl}
 \text{Atelier A } (50 \times 25 \text{ m}^2) (10 \text{ W/m}^2) & = & 12.5 \text{ KVA} \\
 \text{Atelier B } (50 \times 25 \text{ m}^2) (10 \text{ W/m}^2) & = & 12.5 \text{ KVA} \\
 \text{Atelier C } (30 \times 25 \text{ m}^2) (10 \text{ W/m}^2) & = & 7.5 \text{ KVA} \\
 \text{Administration } (20 \times 20 \text{ m}^2) (100 \text{ W/m}^2) & = & 40 \text{ KVA} \\
 & & \hline
 & & 72.5 \text{ KVA}
 \end{array}$$

Eclairage cour

$$\text{Surface des locaux} = 1250 + 1250 + 750 + 400 = 3650 \text{ m}^2$$

$$\text{Surface de la Cour} = 300 \times 200 - 3650 = 56350 \text{ m}^2$$

$$\text{Charge d'eclairage} = 56350 \text{ m}^2 \times 0.1 \text{ W/m}^2 = 5.6 \text{ KVA}$$

Eclairage cloture

$$\text{charge} = (200 + 300) \times 2 \text{ m} \times \frac{700 \text{ W}}{\text{m}} = 7 \text{ KVA}$$

charge max d'eclairage

$$72.5 + 5.6 + 7 \approx 85 \text{ KVA}$$

$$\text{climatisation} = \underline{15 \text{ KVA}} \rightarrow 100 \text{ KVA}$$

Grosseur du Transformateur d'eclairage $T_E = 160 \text{ KVA}$

Pour le dimensionnement des transformateurs alimentant les ateliers, on prendra un facteur de charge de 900% en vue de prévoir l'extension dans un proche avenir.

charge de l'atelier A

$$\frac{200\% \times 118 \text{ kVA}}{130\%} = 181 \text{ kVA} \quad \text{choix } T_A = \underline{\underline{250 \text{ kVA}}}$$

charge de l'atelier B

$$\frac{200\% \times 400 \text{ kVA}}{130\%} = 615 \text{ kVA} \quad \text{choix } T_B = \underline{\underline{750 \text{ kVA}}}$$

charge de l'atelier C

$$\frac{200\% \times 315 \text{ kVA}}{125\%} = 504 \text{ kVA} \quad \text{choix } T_C = \underline{\underline{750 \text{ kVA}}}$$

charge maximum sur le transformateur principal T_1

$$160 + 250 + 750 + 750 = 1910 \text{ kVA} \quad \text{choix } T_1 = \underline{\underline{2500 \text{ kVA}}}$$

4 - CALIBRE des CABLES

On dessert les machines -à partir d'un centre de Contrôle moteur (C.C.M) placé -au centre de l'atelier -. Deux etagères de tablettes sont prévues pour recevoir Ces cables . Ces etagères sont placées dans des conduites aménagées en conséquence.

4.1 CABLES des MACHINES

L'atelier A est celui qui a le CCM le plus sollicité . Chaque côté dessert 14 machines - Nous avons donc 28 départs de cables dont 14 de puissance et 14 de Commande -à raison de 14 cables par tablette . Ceci -Correspond -à un facteur de pose jointive $F_p = 0.43$ Afin de pouvoir supporter l'échauffement permisible de 80°C des moteurs (classe B) , -on prendra des cables avec gaine extérieure isolante en Vinyl -ce qui Correspond -à un facteur de correction du courant admissible en température de $F_c = 0.43$

Pour se munir contre les faibles surcharges , nous prévoyons un facteur de charge $F_{ch} = 125\%$

Le courant -admissible I_N une fois corrigé par les 3 facteurs F_{ch} , F_p , F_c nous permettra de -choisir la

Section minimale que doit avoir notre conducteur -

Pour un facteur de puissance moyen de 0.80 et pour des câbles unipolaires, 3 âmes, nous allons choisir les sections en fonction des puissances installées.

$$2 \text{ HP} - I_N = \frac{2 \text{ HP} \times 0.746 \frac{\text{kW}}{\text{HP}}}{\sqrt{3} \times 0.380 \text{ KV} \times 0.80}$$

$$I_N = 2 \text{ HP} \times 1.42 = 2.8 \text{ A}$$

$$I_{N, \text{corrigé}} = 2.8 \text{ A} \times \frac{125\%}{0.43 \times 0.43}$$

$$= 2.8 \text{ A} \times 6.76 = 19 \text{ A}$$

$$\Rightarrow \text{Section } S = 1 \text{ mm}^2$$

$$5.4 \text{ HP} - I_N = 5.4 \times 1.42 = 7.7 \text{ A}$$

$$I_{N, \text{corrigé}} = 7.7 \text{ A} \times 6.76 = 52 \text{ A}$$

$$\Rightarrow S = 6 \text{ mm}^2$$

$$7.4 \text{ HP} - I_N = 7.4 \times 1.42 = 10.5 \text{ A}$$

$$I_{N, \text{corrigé}} = 10.5 \text{ A} \times 6.76 = 71 \text{ A}$$

$$\Rightarrow S = 10 \text{ mm}^2$$

$$20 \text{ HP} - I_N = 20 \times 1.42 = 28.4 \text{ A}$$

$$I_{N, \text{corrigé}} = 28.4 \text{ A} \times 6.76 = 192 \text{ A}$$

$$\Rightarrow S = 50 \text{ mm}^2$$

$$50 \text{ HP} - I_N = 50 \times 1.42 = 71 \text{ A}$$

$$I_{N \text{ corrigé}} = 71 \times 6.76 = 480 \text{ A}$$

$$\Rightarrow \underline{S = 185 \text{ mm}^2}$$

$$100 \text{ HP} - I_N = 100 \times 1.42 = 142 \text{ A}$$

$$I_{N \text{ corrigé}} = 142 \times 6.76 = 960 \text{ A}$$

$$\Rightarrow \underline{S = 630 \text{ mm}^2}$$

$$177 \text{ HP} - I_N = 177 \times 1.42 = 251 \text{ A}$$

$$I_{N \text{ corrigé}} = 251 \times 6.76 = 1700 \text{ A}$$

$$\Rightarrow \underline{S = 1000 \text{ mm}^2}$$

4.2 CABLES des TRANSFORMATEURS

Du secondaire du transformateur principal T_1 , partent 4 lignes pour alimenter respectivement T_A , T_B , T_C et T_E . Ce qui correspond à un facteur de pose $F_p = 0.80$.

Nous prévoyons une température de pointe de $60^\circ\text{C} \Rightarrow F_c = 0.67$ et un facteur de surcharge de 125%. Le tableau de la figure 4.1 à la page suivante résume les différents sections obtenues.

cables pour Transformateurs

CÔTÉ PRIMAIRE			CÔTÉ SECONDAIRE		
I_N (A)	Incorrige (A)	Section (mm ²)	I_N (A)	Incorrige (A)	Section (mm ²)
T_A	46	107	25	658	1500
T_B	136	317	120	1974	1000
T_c	136	317	120	1974	4680
T_E	29	68	16	421	800

fig 4.1

À cause de la grande diversité de nos cables, nous allons procéder à un groupage des différentes sections puis les normaliser, -ce qui nous permet d'éviter des risques de confusion lors des installations.

Les solutions retenues sont les suivantes :

- Pour les moteurs de 2.0 HP , 5.4 HP et 20 HP .
On utilisera un cable de 10mm² AWG # 6 .
- Pour les 7 moteurs de 100 HP , les 2 moteurs de 50 HP -ainsi que l'alimentation du côté primaire des 4 transformateurs T_A , T_B , T_c , on prendra un cable de 830 mm² # 400 MCM .
- Pour l'alimentation des 2 compresseurs de 177 HP ainsi que des CCM -à partir des transformateurs -on prendra des cables de 1000 mm² # 600 MCM .

- Pour le circuit de commande, on prendra un cable
de 3 mm² # 12

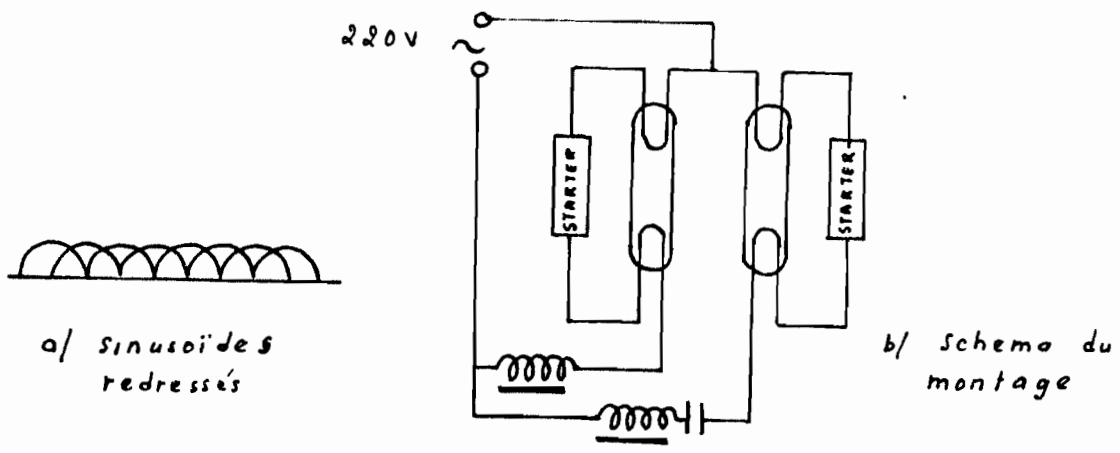
5- ECLAIRAGE

Nous allons déterminer le type ainsi que le nombre de lampes et luminaires nécessaires pour un éclairage requis de 500 Lux, sur la base d'une méthode de calcul dite méthode des CAVITES.

Pour éclairer les ateliers, nous utilisons la lumière des lampes Fluorescentes - Cette lumière suit une courbe en forme de sinusoïde redressée avec un maximum 100 fois par secondes et passage sensiblement au zéro, également 100 fois par seconde pour une fréquence de courant de 50 Hz. Ce papillotement qui n'est pas perceptible provoque des chocs sur la rétine et une fatigue visuelle et nerveuse.

Pour pallier ce grave inconvénient on adoptera un montage "duo" - avec ballast comportant deux enroulements ; sur l'un d'eux est monté un condensateur et les oscillations des deux tubes sont décalées dans le temps sensiblement d'une demi-période, de telle façon que l'oscillation résultante ne passe plus par zéro et comporte des simples ondulations de lumière.

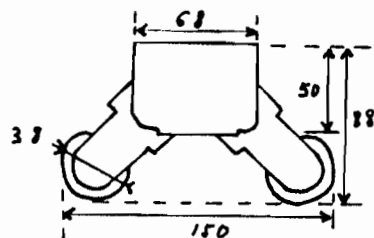
Le ballast est un organe régulateur placé en série avec la lampe. Il nous livre la tension nécessaire à l'allumage et limite le courant dans la lampe.



MONTAGE DUO

fig - 5.1

Le ballast duo sera incorporé dans une reglette contenant également le starter et les lampes livrées toutes câblées, on constitue ainsi une "reglette bloc" d'un montage facile.



REGLETTE BLOC - MONTAGE DUO

fig - 5.2

Les luminaires seront placés à 1.5 m au dessus des appareils de levage (ponts roulants), ce qui permettra

- à l'équipe d'entretien d'y accéder facilement -

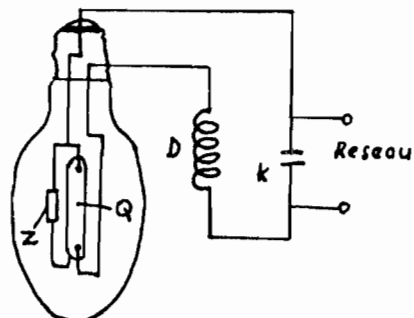
Pour l'éclairage extérieur, on prendra des lampes à Vapeur de mercure. Il est indispensable d'alimenter ces lampes par un ballast qui stabilise l'arc et fournit la tension nécessaire. Pour pallier l'inconvénient d'un faible facteur de puissance, ce ballast sera compensé par un condensateur.

K - Condensateur de Compensation

D - Self 220V - 240V

Z - Résistance d'allumage

Q - brûleur à mercure



LAMPE à VAPEUR de MERCURE

fig - 5.3

Le type de ballast que nous utilisons se compose d'un noyau en tôles magnétiques, entouré d'un enroulement en fils de cuivre englobé dans une résine en polyester qui protège le bobinage et évite toutes vibrations sonores des tôles et vibrations perturbatrices dans les émissions radiophoniques. Ces appareils sont ainsi silencieux et incombustibles.

TABLEAU D'ETUDE de l'ECLAIRAGE des ATELIERS

DETAILS ATELIER A ou B		
DIMENSIONS de la SALLE	LONGUEUR	50 m
	LARGEUR	25 m
	SURFACE	1250 m ²
	HAUTEUR	10 m
REFLEXION des SURFACES	PLAFOND	80 %
	MUR	50 %
	PLANCHER	30 %
HAUTEUR des LUMINAIRES	9 m	

DETAILS des CAVITES		
CAVITE SALLE	HAUTEUR	8 m
	RAPPORT	2.4
CAVITE PLA FOND	HAUTEUR	1 m
	RAPPORT	0.3
	LUMINANCE	75 %
CAVITE PLANCHER	HAUTEUR	1 m
	RAPPORT	0.3
	LUMINANCE	74 %

DETAILS LUMINAIRES		
ECLAIREMENT REQUIS	600 Lux	
LAMPES / LUMINAIRE	2	
Nombre de LUMINAIRES	218	
LUMENS / LAMPE	3150	
OPTION	LUMINAIRES	LUX
a*	220	605
b	210	578

* adopté

fig - 5.4

TABLEAU d'ETUDE de l'ECLAIRAGE des BUREAUX ADMINISTRATIFS

DETAILS d'un BUREAU			DETAILS des CAVITES			DETAILS LUMINAIRES			
DIMENSIONS de la SALLE	LONGUEUR	9 m	CAVITE SALE	HAUTEUR	2.3 m	ECLAIREMENT REQUIS	1600 Lux		
	LARGEUR	6 m		RAPPORT	3	LAMPES / LUMINAIRE	2		
	SURFACE	54 m ²		HAUTEUR	0 m	NOMBRE de LUMINAIRES	33		
REFLEXION des SURFACES	HAUTEUR	3 m	CAVITE PLA FOND	RAPPORT	0	LUMENS / LAMPE	3200		
	PLAFOND	80 %		LUMINANCE	80 %	OPTION	LUMINAIRES	LUX	
	MUR	50 %		HAUTEUR	0.69 m				
HAUTEUR des LUMINAIRES	PLANCHER	20 %	CAVITE PLANCHER	RAPPORT	1				
	3 m			LUMINANCE	19 %	a*	35	1697	
						b	30	1455	

* adopté

fig 5.5

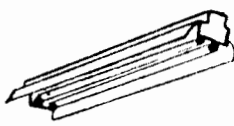
TABLEAU d'ETUDE de l'ECLAIRAGE EXTERIEUR

	ECLAIREMENT en foot-Candle	INTENSITE en Candelas	FACTEUR de MAINTENAN- CE	HAUTEUR de FIXATION (m)	ESPACEMENT (m)
AIRE de STOCKAGE	2.3	1800	0.80	10	20
CLOTURE	1	1800	0.80	10	60

fig. 5.6

Pour tout détail de calculs, voir chapitre des REFERENCES.

Une illustration des Types de luminaires utilisés est la suivante :



Reflecteur



Reflecteur dome

Du tableau recapitulatif de l'éclairage nous vérifions que la charge d'éclairage ne dépasse guère celle de notre transformateur d'éclairage. Nous sommes dans la bonne marge.

Pour tout l'éclairage, on prendra des câbles #7 (Voir Calculs en REFERENCES.).

TABLEAU RECAPITULATIF de l'ECLAIRAGE

fig. 5-7

	TYPE de LAMPE	TYPE de BALLAST	TYPE de LUMINAIRE	NOMBRE de LAMPES par LUMINAIRE	NOMBRE TOTAL de LAMPES	PUISSEANCE d'une LAMPE avec BALLAST (W)	CHARGE INSTALLEE (kW)
ATELIER A	FLUORESCENT F40 CW	2-40 T12 /IS	REFLECTEUR	2	440	80	35.2
ATELIER B	FLUORESCENT F 40 CW	2-40 T12 /IS	REFLECTEUR	2	440	80	35.2
ATELIER C	FLUORESCENT F40 CW	2-40 T12 /IS	REFLECTEUR	2	280	80	22.4
ADMINISTRATION	FLUORESCENT F40 T10/cw/99	2-40 T12 /IS	REFLECTEUR	2	490*	80	39.2
AIRE de STOCKAGE	MERCURE H37 -5K /bx	1-250 W	REFLEC. DOME	1	24	275	6.6
CLOTURE	MERCURE H37 -5K/bx	1-250 W	REFLEC. DOME	1	18	275	4.9

* Pour 7 bureaux

CHARGE TOTALE 144 kW

5.1 CABLES d'éclairage

- Chaque ligne comporte 22 Luminaires (Voir dessin # 7)

Facteur de pose $F_p = 0.48$ pour 20 cables

Facteur de chaleur $F_c = 0.67$ pour une ambiance de 50°

Facteur de charge = 1.25

Charge d'une ligne = 44 Lampes $\times \frac{80W}{Lampe} = 3520 W$

Courant Nominal $I_N = \frac{3520W}{220V} = 16 A$

Courant Corrigé $I_{NC} = 16 A \times \frac{1.25}{0.48 \times 0.67} = 62 A$

Choix : Cable # 7 - 10.5 mm²

- On utilisera Ce même Cable # 7 pour tout l'éclairage.

6- ETUDE des CHUTES de TENSION

-Et -cause de la reactance des artères , une chute de tension va apparaître entre l'origine de notre installation et tout point d'utilisation . -Cette chute de tension, au delà d'une certaine valeur , pourrait causer de ennuis aux différents points d'utilisation . -Les chutes sont surtout importantes lors du démarrage des gros moteurs , qui absorbent des puissances importantes .

Dans le cadre de notre installation , nous sommes intéressés de savoir les valeurs des tensions réelles que nous fournissent les secondaires des transformateurs pour alimenter nos différents ateliers - D'après la Norme NF C 15-100 la chute de tension admissible ne doit pas dépasser 10% de la valeur nominale de tension de l'installation

Pour calculer ces chutes , nous allons partir du diagramme d'impédance des valeurs par unité que nous avons résumé à la page suivante (fig 6.1) .

Comme nous travaillons dans un système par unité , le rapport de tension dans chaque branche est proportionnelle au rapport d'impédance .

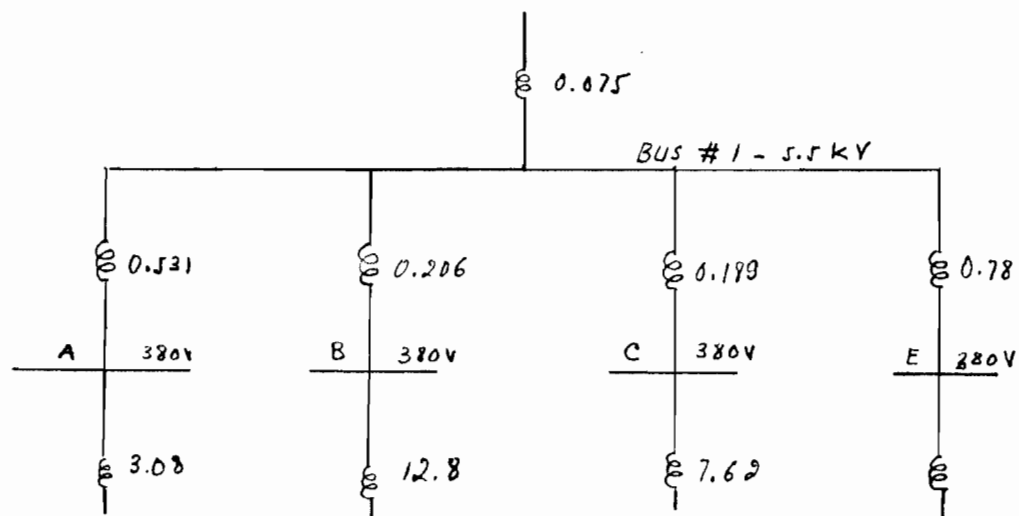


Diagramme contracté d'impédances par unité

fig-6.1

$$\text{Chute en A} = \frac{0.075 + 0.531}{0.075 + 0.531 + 3.08} = 3.9\%$$

$$\text{Chute en B} = \frac{0.075 + 0.206}{0.075 + 0.206 + 12.8} = 2\%$$

$$\text{Chute en C} = \frac{0.075 + 0.189}{0.075 + 0.189 + 7.62} = 3.5\%$$

Chute en E ≈ 0

$$\text{Chute sur BUS\#1} = 3.9 + 2 + 3.5 = 9.4\%$$

Conclusion : nous sommes dans la marge de sécurité.

Chute au niveau des compresseurs

$$177 \text{ HP} \times 0.745 \frac{\text{kVA}}{\text{HP}} = 132 \text{ kVA}$$

Cable C_1 : 400 MCM

$$\begin{aligned} Z_{C_1} &= (0.0342 + j 0.0327) \frac{50 \text{ m}}{305 \text{ m}} \Omega \\ &= 0.0056 + j 0.0054 \Omega \end{aligned}$$

Cable C_2 : 600 MCM

$$\begin{aligned} Z_{C_2} &= (0.0237 + j 0.0309) \frac{18 \text{ m}}{305 \text{ m}} \Omega \\ &= 0.0014 + j 0.0018 \Omega \end{aligned}$$

$$Z_C = Z_{C_1} + Z_{C_2} = 0.007 + j 0.0072 \Omega$$

$$\text{base kVA} = 750 \text{ kVA}$$

$$\text{base Volts} = 380 \text{ V}$$

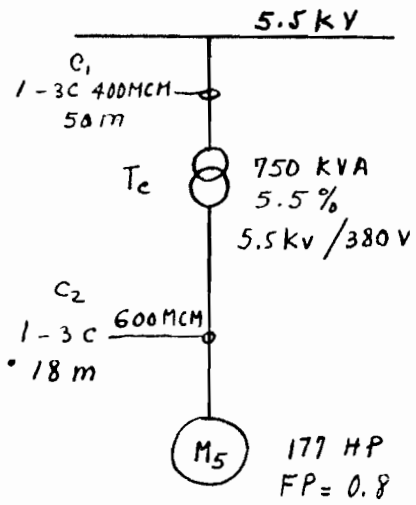
$$\text{base ohm} = \frac{(380 \text{ V}_B)^2}{750 \text{ kVA}_B \times 1000} = 0.192$$

$$\text{base Ampere} = \frac{132 \text{ kVA}}{750 \text{ kVA}_B} = 0.176$$

$$X_T = j 0.055 \Omega$$

$$\begin{aligned} Z_C &= \frac{R_C + j X_C}{\text{base ohm}} = \frac{0.007 + j 0.0072}{0.192} \\ &= 0.0364 + j 0.0375 \Omega \end{aligned}$$

$$X_T + Z_C = 0.0364 + j 0.0925 \Omega$$



$$\text{chute } \Delta U = 0.176 (0.0364 \times 0.8 + 0.0925 \times 0.6) \\ = 0.015 \equiv 1.5\%$$

Tension aux bornes du compresseur

$$(1 - 0.015) 380 \text{ V} = 374 \text{ Volts}$$

Pour conclure nous voyons que les chutes de tension à tous les niveaux de notre réseau de distribution est < 10% ; d'autre part un compresseur en plein régime ne voit qu'une faible chute 1.5% soit 374 volts. Mais si l'on considère que le courant de démarrage est dans le pire des cas égal à 6 fois le courant de pleine charge alors on aura une chute au démarrage de 9%, ce qui est quand même considérable. Pour palier à cet inconvénient, un type de démarrage dit par sélection de résistances statoriques sera aménagé en conséquence (Voir fig 8.1 page 30)

Comme les compresseurs causent une chute admissible je suppose qu'il en sera de même pour tous les autres moteurs plus petits.

7. FACTEUR de PUISSANCE de l'INSTALLATION

- A cause de leur inductance, les bobines des moteurs vont faire appel à une certaine quantité de puissance qui sera dissipée sous forme de chaleur, donc puissance qui n'est pas consommée. Cette puissance dite réactive n'est pas enregistrée par le Wattmètre mais plutôt par un Varmètre, elle peut également être caractérisée par le facteur de puissance (FP) de l'installation -

La SENELFC tarifie ces Vars lorsque l'installation a un FP < 0.80 -

Un FP bas engendre non seulement une tarification supplémentaire mais aussi augmente les chutes de tension dans le système de distribution -

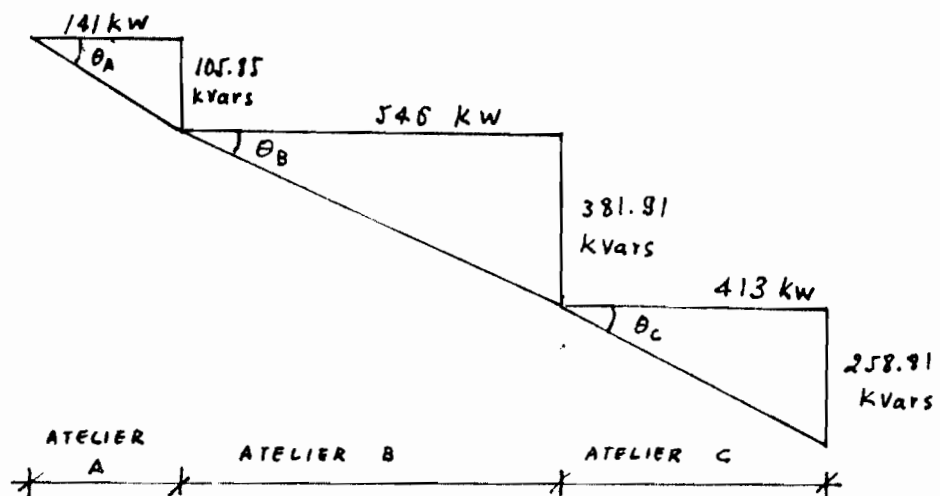
L'utilisation de Condensateurs permet de relever le F.P. Nous allons maintenant évaluer le FP de notre usine et le relever si nécessaire -

Comme hypothèse : on suppose que les moteurs ne fonctionnent qu'à 3/4 de leur puissance certifiée Ce qui nous donne des FP correspondants dans le tableau de la fig 7.1 page 27

	DESIGNATION DES MACHINES	PUISANCE LIMITRAIRE (kW)	FP 3/4	θ deg	P (kW)	Q (kVats)
ATELIER A	5 TOURS					
	3 RABOTEURS					
	5 PERCEUSES - 13	5.5	0.70	37.81	71.5	55.48
	3 ETAU. - 3	1.5	0.74	42.26	4.5	4.09
	5 FRAIS. - 5	4	0.78	38.74	20	16.04
ATELIER B	3 LEV. - 3	15	0.83	33.90	45	30.24
					TOTAL	141
						105.85
	8 SCIES					
	2 POLISS. - 4	1.5	0.74	42.26	6	5.45
ATELIER C	1 PRESSE					
	1 LEV.					
	5 P. Soudure - 7	75	0.82	34.91	525	366.38
	1 LEV. - 1	15	0.83	33.90	15	10.08
					TOTAL	546
						381.91
	3 VENT.					
	2 LEV. - 5	15	0.83	33.90	75	50.39
	2 COMPRESS. - 2	132	0.85	31.79	264	163.62
	2 FOURLS - 2	37	0.84	32.86	74	44.80
					TOTAL	413
						258.81

RESUME des FP des ATELIERS

fig 7.1



TRIANGLE de PUISSEANCE des ATELIERS

fig

ATELIER A $\theta_A = \tan^{-1} \frac{105.85}{141} = 36.89^\circ$
 $FP_A = \cos 36.89 = 0.80$

ATELIER B $\theta_B = \tan^{-1} \frac{381.91}{546} = 34.97^\circ$
 $FP_B = \cos 34.97 = 0.82$

ATELIER C $\theta_C = \tan^{-1} \frac{258.81}{413} = 32.07^\circ$
 $FP_C = \cos 32.07 = 0.84$

TOTAL USINE

$P_T = 141 + 546 + 413 = 1100 \text{ kW}$

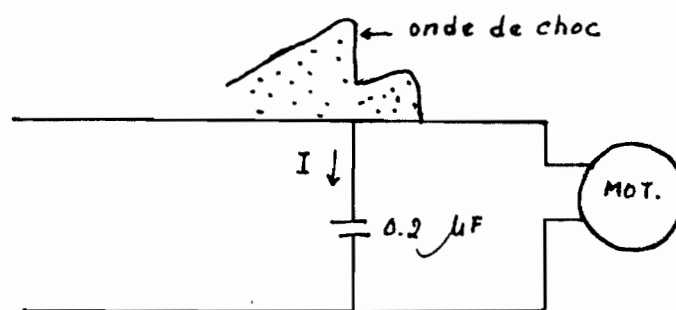
$Q_T = 105.85 + 381.91 + 258.81 = 746.57 \text{ kVars}$

$\theta = \tan^{-1} \frac{746.57}{1100} = 34.16^\circ$

$FP = \cos 34.16 = 0.827$

{ tant donné que nous sommes bien en dessus du FP_{min} ($FP = 0.827 > 0.80\text{ min}$) la SENELEC ne taxera pas les 746.57 kvars que nous lui demandons en trop. Nous n'avons pas alors pas besoin de Condensateurs pour relever le FP.

Mais dans le soucis de protéger nos moteurs contre les ondes de choc, nous allons les équiper de Condensateurs pour amortir cette dernière. Rappelons que ces Condensateurs amortiront également les chutes et contribueront à un relèvement du FP.



AMORTISSEMENT de l'onde par le CONDENSATEUR fig 7.2

8- DESCRIPTION et UTILISATION de l'APPAREILLAGE ELECTRIQUE

PROTECTION au DEMARRAGE de COMPRESSEURS

Pour reduire le courant de demarrage, nous allons equiper nos Compresseurs d'un systeme comme suit :

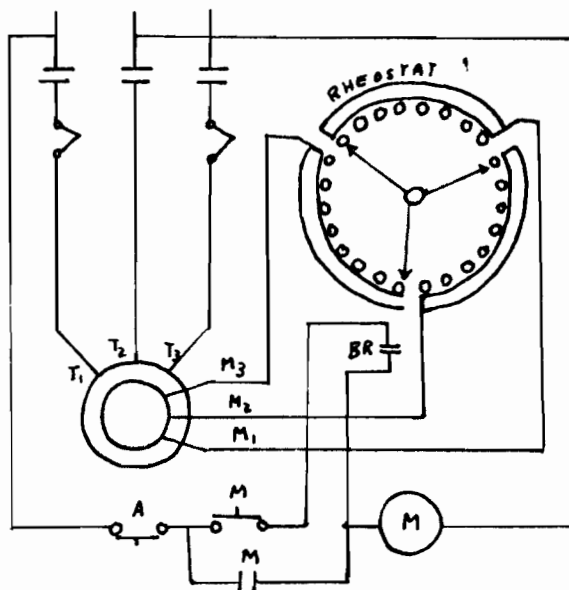


fig 8.1

Le demarrage se fait par selection manuelle successive de resistances dans le rheostat. Pour mesure de securite, on introduit un contacteur special BR qui ne se ferme au demarrage que lors que toutes les resistances sont selectionnees.

8.1 ENTRETIEN des MOTEURS

Nos moteurs étant de type -construction fermée avec roulements -à billes, nous allons porter une attention particulière à ces derniers.

Tous les 6 mois on doit nettoyer et lubrifier ces roulements - Utiliser les huiles -au pétrole SAE 20 @ SAE 40 - ou équivalent (viscosité 200 @ 500 SSU à 38°C).

Un certain nombre de problèmes peuvent empêcher le bon fonctionnement de nos moteurs. Il devient alors pratique de se préparer -à remédier -aux ennuis les plus courants. Le tableau de la page suivante donne une liste de certains problèmes, leurs causes éventuelles -ainsi que le remède -

Nous disposerons d'un certain nombre d'instruments pour inspection des causes, à savoir :

- Multimètre Versatile, portable (Voltage AC-DC, ohm)
- Electropince
- thermomètre (150°C) .

TABLEAU de DEPANNAGE des MOTEURS

PROBLEME	CAUSE	REMEDE
1- le moteur ne démarre pas.	Defaut de connection. Une phase est ouverte. Une phase Court-circuitée. Tension très basse. Frottement élevé.	Inspecter les connections. Reduire l'impédance du circuit extérieur. Verifier la lubrification des paliers de roulement ainsi que l'alignement de l'axe. Verifier la tension dans les courroies. Renverser 2 phases quelconques.
2- Le moteur fait des sants.	Charge à inertie élevé. les contacteurs ne ferment pas complètement Pas d'excitation suffisante. fluctuation importante de la charge avec C _{max} élevé	Enlever la charge. Reviser le mécanisme de contact Verifier les contacteurs ainsi que toutes les connexions. Consulter le manufacturier.

A suivre

3. Le moteur chauffe

Court-circuit.

Voir les enroulements et rebobiner si nécessaire.

Deséquilibre des courants.

Mauvaises connections.

Surcharge.

Réduire la charge, ou remplacer le moteur par un plus gros - Vérifier le frottement et la tension dans les courroies - ainsi que l'alignement de l'axe.

Mauvaise tension

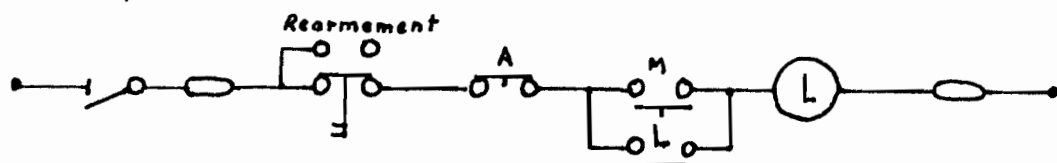
Vérifier qu'il n'y ait pas d'interférence dans la marge du voltage plaque.

Mauvaise ventilation

Enlever toute obstruction à la circulation d'air, nettoyer les grilles d'entrée de l'air

8-2 DEMARRAGE des petits moteurs

- Ces moteurs seront demarrés en direct - Ce qui demande un courant élevé et un couple élevé au démarrage. Mais nous choisissons ce type de démarrage - à cause de son coût relativement bas. (6 fois moins cher que le démarrage par sélection de résistances statoriques)



En appuyant sur le bouton marche M, la bobine L est excitée. Le contacteur auxiliaire L est appelé et maintenant même si le bouton d'impulsion M est lâché, le circuit est alimenté par le contacteur L - Pour arrêter, il suffit d'actionner sur A : la bobine L n'est plus excitée et son contacteur L par conséquent ouvre et on a l'arrêt.

8.3 DISJONCTEURS

Nous avons choisi des disjoncteurs du type MG à faible volume d'huile parce qu'ils sont compacts, légers, faciles à entretenir et surtout parce qu'ils peuvent être munis d'un déclencheur transistorisé "AMPECTOR".

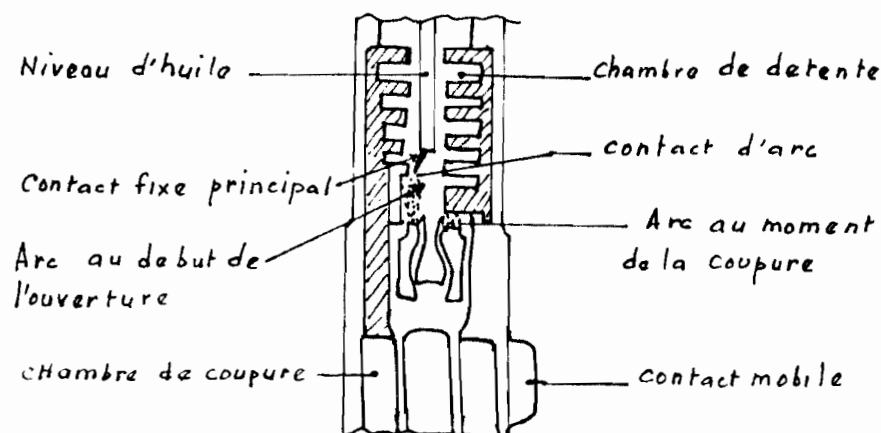
Construction : Il consiste en un châssis d'acier qui supporte 3 pôles indépendants et un mécanisme de fonctionnement. Chaque pôle a un tube isolant fixé au boîtier inférieur au moyen d'une collette. Le contact mobile consiste en une tige de cuivre dont l'extrémité inférieure est reliée au mécanisme de fonctionnement par l'intermédiaire de bielles isolantes. Des bouchons filetés permettent le vidange de l'huile.

Fonctionnement : la coupure de l'arc est contrôlée dans l'huile. L'arc une fois formé vaporise l'huile et crée ainsi une surpression dans la chambre de coupure. Cette pression force l'huile non vaporisée à se déplacer transversalement par rapport au contact mobile, ce qui allonge l'arc et le désionise. L'allongement de l'arc est fonction de la pression de vapeur, donc du courant qui est interrompu. Au début du temps d'ouverture, le

Contact mobile se détache à grande vitesse. A une distance pré-déterminée, il est ralenti au moyen d'un amortisseur permettant le contrôle adéquat de sa vitesse même lorsque la surpression due à l'huile vaporisée essaie d'accélérer le mécanisme. A ce stade l'arc est éteint. Pour le restant du temps d'ouverture l'action de l'amortissement est annulée. Le Contact mobile effectue son parcours jusqu'à ce qu'il atteigne la position ouverte.

L'ouverture peut être réalisée au moyen d'un bouton de déclenchement ou par des dispositifs électriques tels:

- . les relais
- . l'Ampector



Coupe sommaire d'un disjoncteur

8-4 AMPPECTOR de WESTINGHOUSE

- C'est un dispositif transistorisé - qui assure un déclenchement en surintensité réglable pour les disjoncteurs à faible volume d'huile du type MG. Il suffit d'un ampector par disjoncteur. Il reçoit toute son énergie de fonctionnement d'un groupe de senseurs. Le courant de régime du disjoncteur peut être modifié en changeant simplement les senseurs.

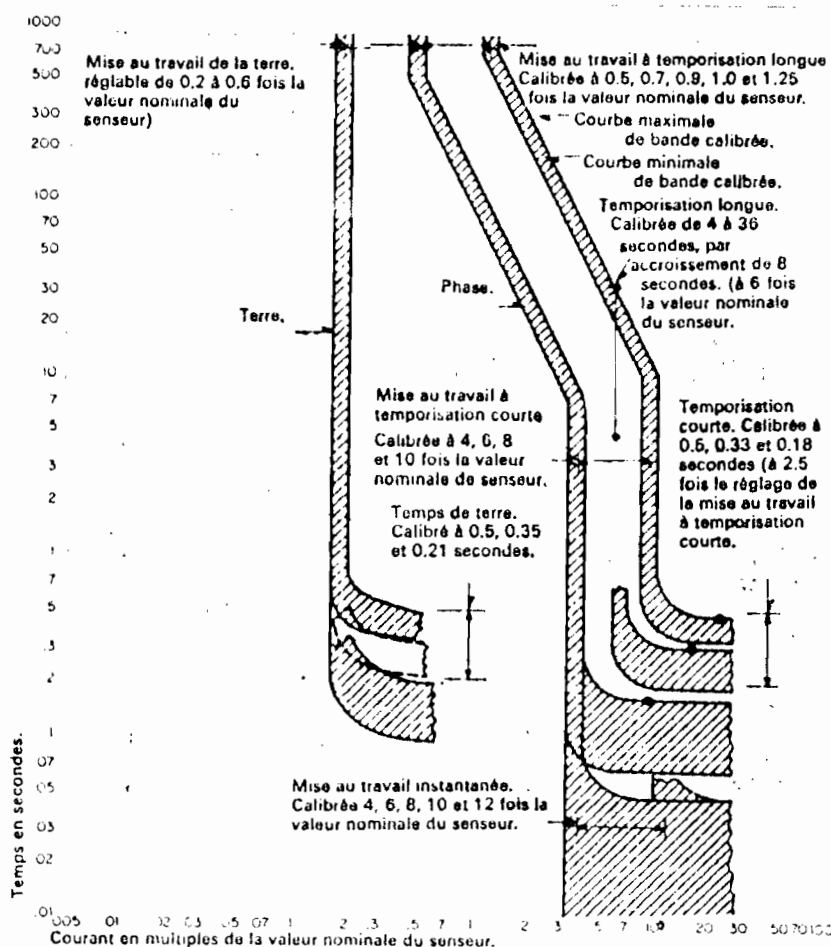
Il est muni de 4 gammes de mise en travail, ajustables en continu (1 - Temporisation Longue , 2 - Temporisation Courte , 3 - instantané , 4 - protection de Terre) . Comme le montrent des courbes caractéristiques à la page suivante.

Il développe une valeur de sortie pour un déclencheur-activateur lorsque les conditions d'amplitude et de durée de courant, choisies à l'avance, sont dépassées .

Les senseurs sont disponibles dans la gamme suivante :

100 - 150 - 200 - 300 - 400 - 500 - 600 - 800 - 1200

1600 Amperes.



Caractéristiques de l'ampektor Westinghouse.

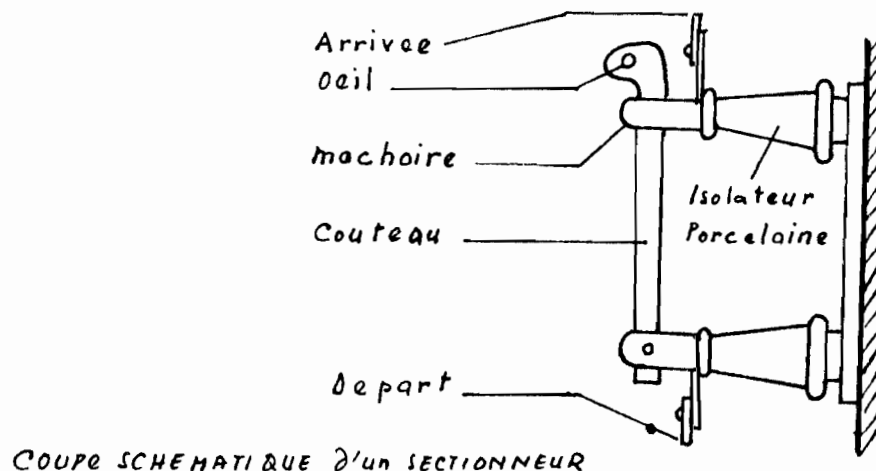
8-5 SECTIONNEUR

C'est un appareil destiné à isoler un circuit. Il ne possède aucun pouvoir de coupe et par conséquent il ne faut jamais le manœuvrer en charge.

Il donne un contrôle visuel de la coupe par dégagement du couteau dans la mâchoire en actionnant sur l'œil.

Il permet d'isoler un circuit pour permettre des réparations sans danger.

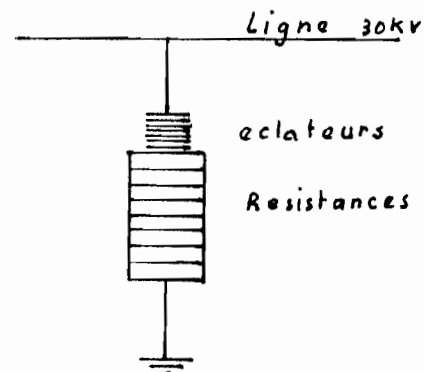
On utilisera des serrures bourrées afin de verrouiller entre eux les leviers de commande des sectionneurs et disjoncteurs et éviter ainsi toute fausse manœuvre ; C'est à dire que la clé de la serrure du sectionneur - que l'on veut ouvrir - ne peut être retiré de la serrure du disjoncteur - qu'une fois celui-ci ouvert.



COUPE SCHEMATIQUE D'UN SECTIONNEUR

8-6 PARAFoudre

C'est un -appareil -qui se branche entre les phases et la terre . Il sera placé -a l'extremité du branchement aérien de la SENELEC juste -avant l'entrée de notre poste T₁ . Lorsque la surtension dépasse la Tension d'amorçage (200 kV) , le para foudre s'amorce et écoule la surtension à la terre , après -quoi , le réseau est établi .

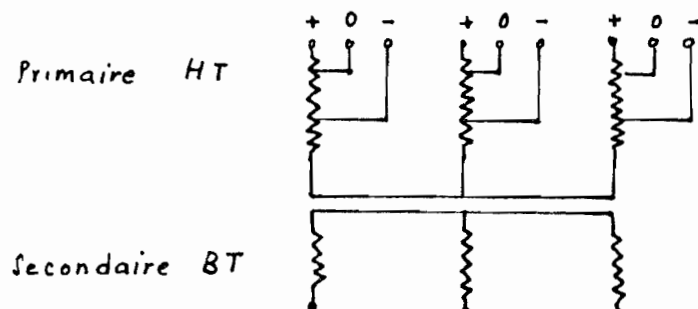


8.7 TRANSFORMATEURS

Construction : l'ensemble des circuits magnétiques est plongé dans un bain d'huile. Contenu dans une cuve. Cet huile permet :

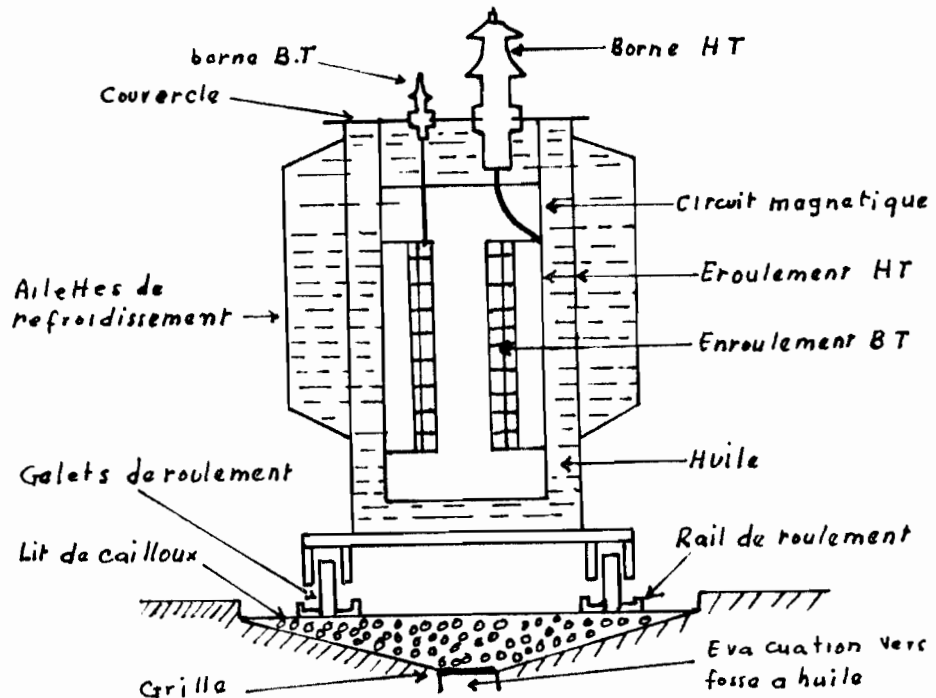
- de rapprocher les conducteurs d'avantage que s'ils étaient dans l'air - à cause de son pouvoir inducteur spécifique qui améliore son pouvoir isolant.
- d'évacuer les calories causées par les pertes de Fer et de Cuivre dans les enroulements. Des ailettes placées sur les parois latérales améliorent le refroidissement.

On dispose de deux prises de réglage ($\pm 5\%$) situées de part et d'autre de la prise nominale marquée 0. Ces prises sont destinées à modifier légèrement le rapport de transformation.



PRISES DE RÉGLAGE D'UN TRANSFORMATEUR

A fin de reduire les dangers d'incendie, on meangera une fosse à huile au dessous du transformateur destiné à son evacuation.



COUPE D'UN TRANSFORMATEUR.

Au cours de son fonctionnement, l'huile s'altère peu à peu par suite de :

- La condensation d'humidité à l'intérieur de la cuve

- Sa décomposition au contact de l'air qui donne lieu à des dépôts

On effectuera alors les tests suivants conseillés par

1) ASTM (American Society for Testing materials) -

Si l'état de l'huile est jugé mauvais, on procèdera à un filtrage en circuit fermé -au cours duquel l'huile sera rechauffée pour permettre la régénération.

les 8 TESTS ASTM de l'HUILE d'un TRANSFORMATEUR.

Méthode de TEST.	Critère d'évaluation des résultats	Informations tirées à partir du test
D-877 Dielectrique	bonne huile résiste jusqu'à 30 kV	Présence d'eau.
D-974 Nombre de neutralisation NN	mg de Potassium hydroxide pour neutraliser un gramme d'huile	Présence d'acide.
D971 Tension inter-faciale (IFT)	> 40 dynes par cm^2 pour une bonne huile	Présence de boue.
D-1524 Couleur	Comparer à 0.8 pour une bonne huile sur l'échelle des couleurs	Le changement d'une année à l'autre indique la présence d'un problème.
D-1298 densité	0.875 pour une bonne huile	Présence de contaminants.
D-1524 Visuel	Une bonne huile est claire	L'opacité indique la présence de contaminants.
D-1691 Sediment	Pas du tout, peu, beaucoup de sédiments	Déterioration ou Contamination
D-924 Facteur de Puissance	bonne huile $FP \leq 0.05$	Présence de saletés : résines, oxydants.

8-8 DESIGN des BARRES OMNIBUS

Leur Capacité de conduction est limitée par l'élévation de température qui dépend des facteurs suivants : type de matériau, configuration géométrique, degré de proximité etc... L'efficacité maximale de conduction est obtenue lorsque toutes les parties des barres operent à la même température.

On arrangerà les barres de manière à ce que :

- . la densité de courant soit uniforme sur tout le conducteur.
- . la surface soit suffisamment grande pour dissiper la chaleur

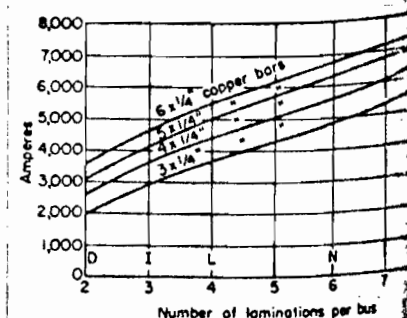
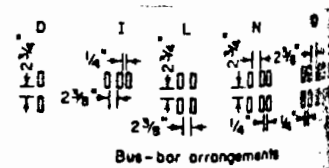
Les barres seront en Cuivre, c'est à dire même matériau que les câbles. Car des barres faites d'un matériau autre que le Cuivre (Aluminium par exemple) pourraient provoquer à la jonction, des réactions électrolytiques.

On choisira un arrangement :

Type L - $6 \times \frac{1}{4}$ " en Cu

Capable de conduire jusqu'à

5500 A



8-9 CABLES

Inspecter soigneusement les rouleaux à la réception, car il peut y avoir des dommages dissimulés, causés par les fourches des chariots élévateurs, ou produits lors de l'enroulement. Ces dommages peuvent être la cause de pannes prématuées ou d'interruptions tardives mais courtes.

éviter de traîner le câble sur le sol, veiller à ce que les appareils mobiles ne montent pas dessus (risque de déterioration du système d'enveloppe -)

Porter une attention particulière aux finis de surface rugueux pouvant déteriorer la gaine et causer ainsi des court-circuits.

traction des câbles pour appareils de levage.

formules :

$$T = L \times P \times f \quad \text{pour une section droite}$$

$$T = T_2 + T_1 e^{fa} \quad \text{pour une section courbe}$$

T = tension eng

T_2 = tension pour la section droite suivant la courbe

T_1 = tension pour la section précédant la courbe

α = angle de la courbe en radians

P = Poids du câble en g/m (935)

L = Longueur de traction.

$$\text{Tension à B} = 4 \times 935 \times 0.5 = 1906 \text{ g}$$

$$\text{Tension à C} = 1906 \exp(0.5 \times 1.57) = 4179 \text{ g}$$

$$\begin{aligned}\text{Tension à D} &= 4179 + 5.25 \times 935 \times 0.5 \\ &= 6680 \text{ g}\end{aligned}$$

$$\begin{aligned}\text{Tension à E} &= 6680 \exp(0.5 \times 1.57) \\ &= 14645 \text{ g}\end{aligned}$$

$$\text{Tension à F} = 14645 + 7 \times 935 \times 0.5 = 17980 \text{ g}$$

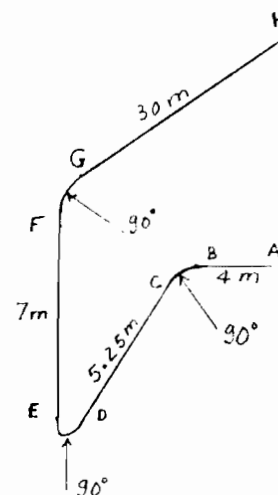
$$\text{Tension à G} = 17980 \exp(0.5 \times 1.57) = 39419 \text{ g}$$

$$\text{Tension à H} = 39419 + 30 \times 935 \times 0.5 = 14295 \text{ g}$$

On utilisera un œillet de traction sur le conducteur

Vue que la tension totale est trop grande.

Utiliser une pince de traction pour les autres câbles.

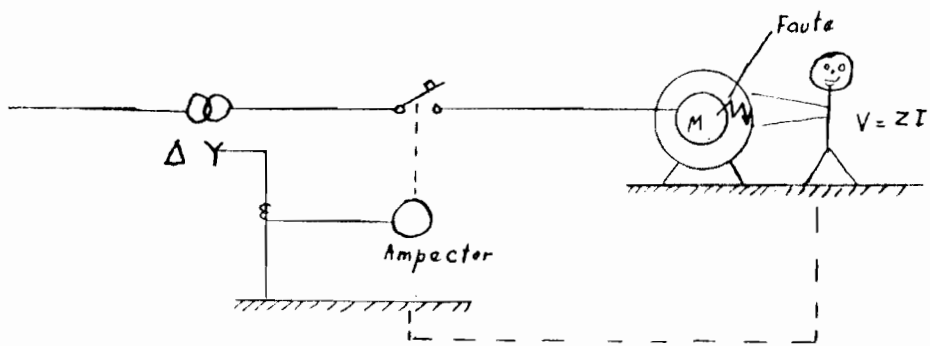


8.10 Mise à la terre

Les 2 avantages d'une bonne mise à la terre sont :

- . Diminution du potentiel entre la fuite et la terre
- . Augmentation du courant de circulation dans le neutre. Le relais (Ampèter) du transformateur le plus proche va enregistrer ce courant qui va l'exciter, et commander ainsi l'ouverture du disjoncteur.

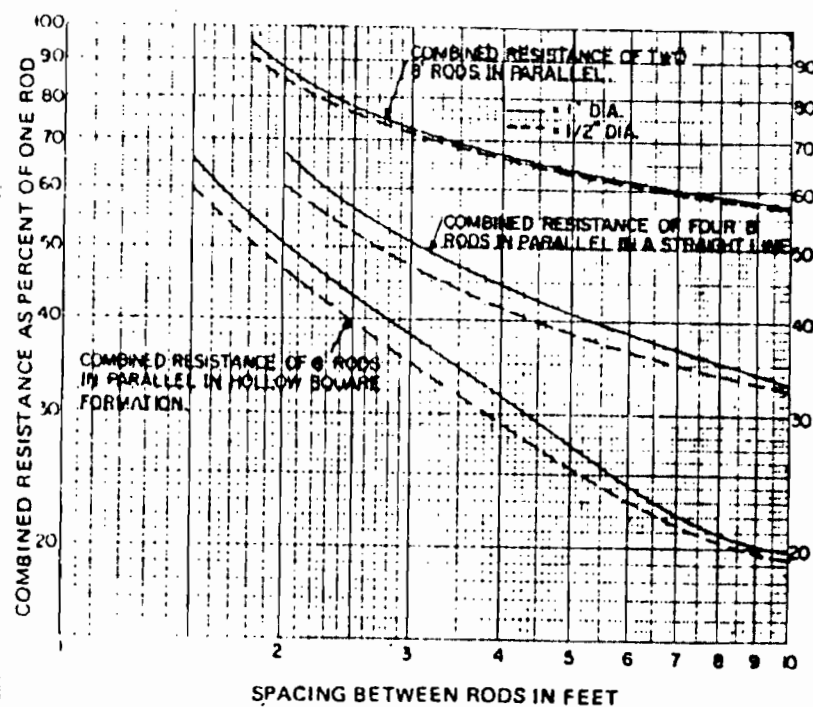
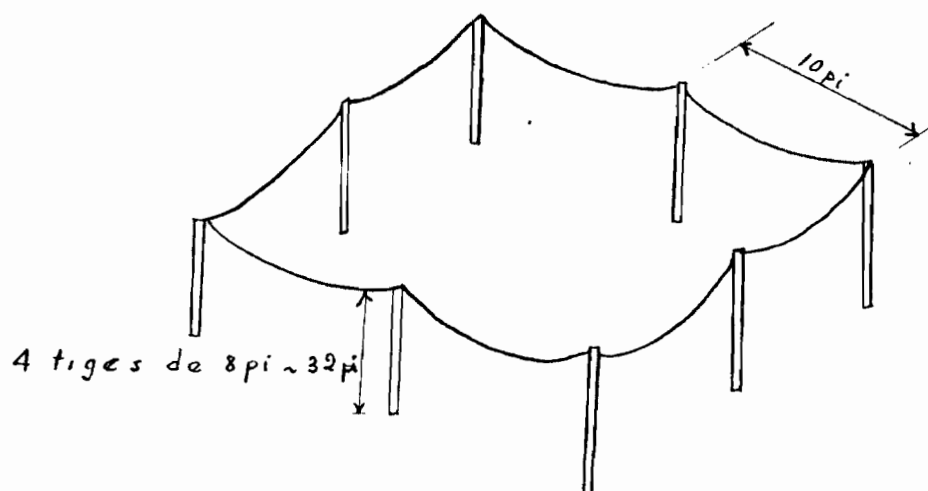
Le bonhomme qui se trouve entre la fuite et la terre pourra ainsi être sauvé comme le montre le schéma suivant :



On utilisera des tiges de 8 pi de longueur, qui sont les plus courantes.

Le sol est argileux. La résistance installée est de 2Ω par colonne.

Les tiges seront disposées comme suit :



Resistances de tiges combinées

Cette disposition donne une résistance combinée de l'ensemble égale à : $R_G = 20\% \times 2\Omega = 0.4\Omega$

Exemple d'application :

Transformateur T_1 $Z_{\text{cable}} \approx 0$

$$I_{\text{fuite}} = \frac{5500V}{0.4\Omega} = 13750 \text{ A.}$$

L'ampektor déclenche instantanément l'ouverture du disjoncteur D_1 .

A cause de la fluctuation des saisons, nous allons introduire des impuretés dans le sol (Sel, sulfate de Mg) à 17% du mélange argileux pour augmenter la résistivité. Ceci aura pour effet de diminuer davantage le potentiel de fuite.

9 - ANALYSE des COÛTS

9.1 COÛT de l'ECLAIRAGE

Les ateliers A, B, C, seront éclairés de 19^h00 @ 24^h00 soit 5^h/jour ; L'administration : 3^h/jour ; l'aire de stockage et la clôture seront éclairées toute la nuit durant soit 13^h/jour.

	Lieu d'éclairage →	ATELIERS A, B, C	ADMINIS- TRA TION	CLOTURE & STOCKA- GE
base de données	0. Lumens initiaux par lampe	3150	3900	30000
	1. Watt par Lampe	80	80	275
	2. Vie (Heures)	30000	15000	24000
	3. Nombre de luminaires	580	245	42
	4. Lampes par luminaire	2	2	1
	5. Nombre de lampes au total	1160	492	42
	6. Coût de l'énergie (CFA/kwh)	55	55	55
Coûts initiaux	7. Heures d'utilisation par an	1825	1095	4745
	8. Coût d'un luminaire	1000	1000	800
	9. Coût des accessoires additionnels par luminaire (ballast)	4750	4750	4750
	10. Coût du cablage par luminaire	500	500	700
	11. Coût d'une lampe	770	770	1200
	12. Coût initial des lampes par luminaire (11 x 4)	1540	1540	1200
	13. Coût initial Total par Luminaire (8 + 9 + 10 + 12)	8290	8290	7450
	14. COÛT INITIAL TOTAL (3 x 13)	4800000	2031000	313000
	A suivre			

charges fixes annuelles	15. Cout initial par luminaire (sans lampe). (7 + 9 + 10)	6750	6750	6250
	16. Charge fixes annuelles	3915000	1654000	202500
couts d'operation annuels	17. Nombre de lampes remplacées par an (5 x 7 ÷ 2)	71	36	9
	18. Cout annuel de remplacement (17 x 11)	54670	27790	10800
	19. Cout annuel de l'énergie (1 x 5 x 6 ÷ 1000)	2552	538	49822
	20. Cout annuel d'opération (18 + 19)	57222	28258	60622
	21. Cout annuel Total (20 + 16)	3917552	1654528	323129

Prix en francs, CFA.

Source : Casernement de l'Ecole polytechnique de Thiès.

9.2 Cout de l'appareillage électrique.

Appareillage	Nombre	prix unitaire (Francs CFA)	prix total (millions CFA)
Sectionneur HT	1	900 000	0.9
Sectionneur BT	2	200 000	0.4
Disjoncteur HT 30 kV	1	1500 000	1.5
Disjoncteur MT 5.5 kV	4	400 000	1.6
Disjoncteur BT 380V	6	250 000	1.5
Ampètore Westing house	11	350 000	3.85
Transfo - 2500 kVA	1	2000 000	2
Transfo - 750 KVA	2	1500 000	3
Transfo - 250 KVA	1	1000 000	1
Transfo - 160 KVA	1	800 000	0.8
para foudre	1	400 000	0.4
Centre de commande moteur	4	15000 000	60
Total		76 950 000 Francs CFA	

Sources: SENELEC
 SENEATEL
 C.G.E (Compagnie Generale d'électricité)
 E.S.E (entreprise Senegalaise d'électricité)

10 REFERENCES de CALCULS

10.1 CALCUL des VALEURS Par UNITE (P.u)

KVA de base = 2500 KVA_B

Transformateurs

Designation	T_1	T_A	T_B	T_c	T_E
Charge KVA	2500	250	750	750	160
Impedance X	.065	.050	.055	.055	.050

$$X_{T_1} = \frac{2500 \text{ KVA}_B}{2500 \text{ KVA}} \times .065 = 0.065 \text{ pu}$$

$$X_{T_A} = \frac{2500 \text{ KVA}_B}{250 \text{ KVA}} \times .05 = 0.50 \text{ pu}$$

$$X_{T_B} = X_{T_C} = \frac{2500 \text{ KVA}_B \times .055}{750 \text{ KVA}} = 0.193 \text{ pu}$$

$$X_{T_E} = \frac{2500 \text{ KVA}_B \times .050}{160 \text{ KVA}} = 0.78 \text{ pu}$$

10.2 Moteurs Impedance

Pour les petits moteurs ($H_p \leq 20$) le courant de démarrage I_d est sensiblement égal à 4 fois le courant nominal - ce qui correspond à une réactance sous transitoire $X_d'' \approx \frac{I_d}{I_N} = \frac{1}{4} = 0.25$

Etant donné que tous les autres moteurs sont alimentés

à $380V \ll 600V$, leur apport à un Court-Circuit est supposé $\approx 4 I_d \Rightarrow X_d'' = 0.25$ comme pour les petits moteurs.

Atelier A 13 moteurs de 7.4 HP = 96.2 HP

5 de 5.4 HP = 27 HP

3 de 2 HP = 6 HP

3 de 20 HP = 60 HP

$$M_1 = 189.2 \text{ HP}$$

Atelier B 4 moteurs de 2 HP = 8 HP

2 de 20 HP = 40 HP

$$M_2 = 48 \text{ HP}$$

7 moteurs de 100 HP $M_3 = 7 \times 100 \text{ HP}$

Atelier C 5 moteurs de 20 HP = 100 HP

$$M_4 = 100 \text{ HP}$$

2 Compresseurs de 177 HP $M_5 = 2 \times 177 \text{ HP}$

La contribution des fours et de l'éclairage aux Courants de Court-Circuit est négligeable. Avec un $\cos\phi_{moy} = 0.8$ on a :

$$X_{M_1} = \frac{2500 \text{ kVA}_B \times 0.25 \times 0.745 \frac{\text{HP}}{\text{kVA}}}{189.2 \text{ HP} \times 0.8} = 3.08 \text{ pu}$$

$$X_{M_2} = \frac{2500 \times 0.25 \times 0.745}{48 \text{ HP} \times 0.8} = 12.12 \text{ pu}$$

$$X_{M3} = \frac{2500 \times 0.25 \times 0.746}{7 \times 100 \text{ HP} \times 0.8} = 0.83 \text{ pu}$$

$$X_{M4} = \frac{2500 \times 0.25 \times 0.746}{100 \text{ HP} \times 0.8} = 5.89 \text{ pu}$$

$$X_{M5} = \frac{2500 \times 0.25 \times 0.746}{2 \times 177 \text{ HP} \times 0.8} = 1.64 \text{ pu}$$

10.2 Cables des transformateurs

Numéro du câble	Impédances L.N m/305m		
	X	R	Z
400 MCM	0.0327	0.0342	0.0475
800 MCM	0.0309	0.0237	0.0389

Secondaire T_A - 25 m $X_{AS} = \frac{0.0389 \Omega}{305 \text{ m}} \times 25 \text{ m} = 0.002 \text{ pu}$

Primaire T_A - 180 m $X_{AP} = \frac{0.0475 \Omega}{305 \text{ m}} \times 180 \text{ m} = 0.028 \text{ pu}$

Secondaire T_B - 25 m $X_{BS} = \frac{0.0389 \Omega}{305 \text{ m}} \times 25 \text{ m} = 0.003 \text{ pu}$

Primaire T_B - 130 m $X_{BP} = \frac{0.0475 \Omega}{305 \text{ m}} \times 130 \text{ m} = 0.020 \text{ pu}$

Secondaire T_c ~ 0 m $X_{cp} = \approx 0$

Secondaire T_c - 50 m $X_{cs} = \frac{0.0389 \Omega}{305 \text{ m}} \times 50 \text{ m} = 0.006 \text{ pu}$

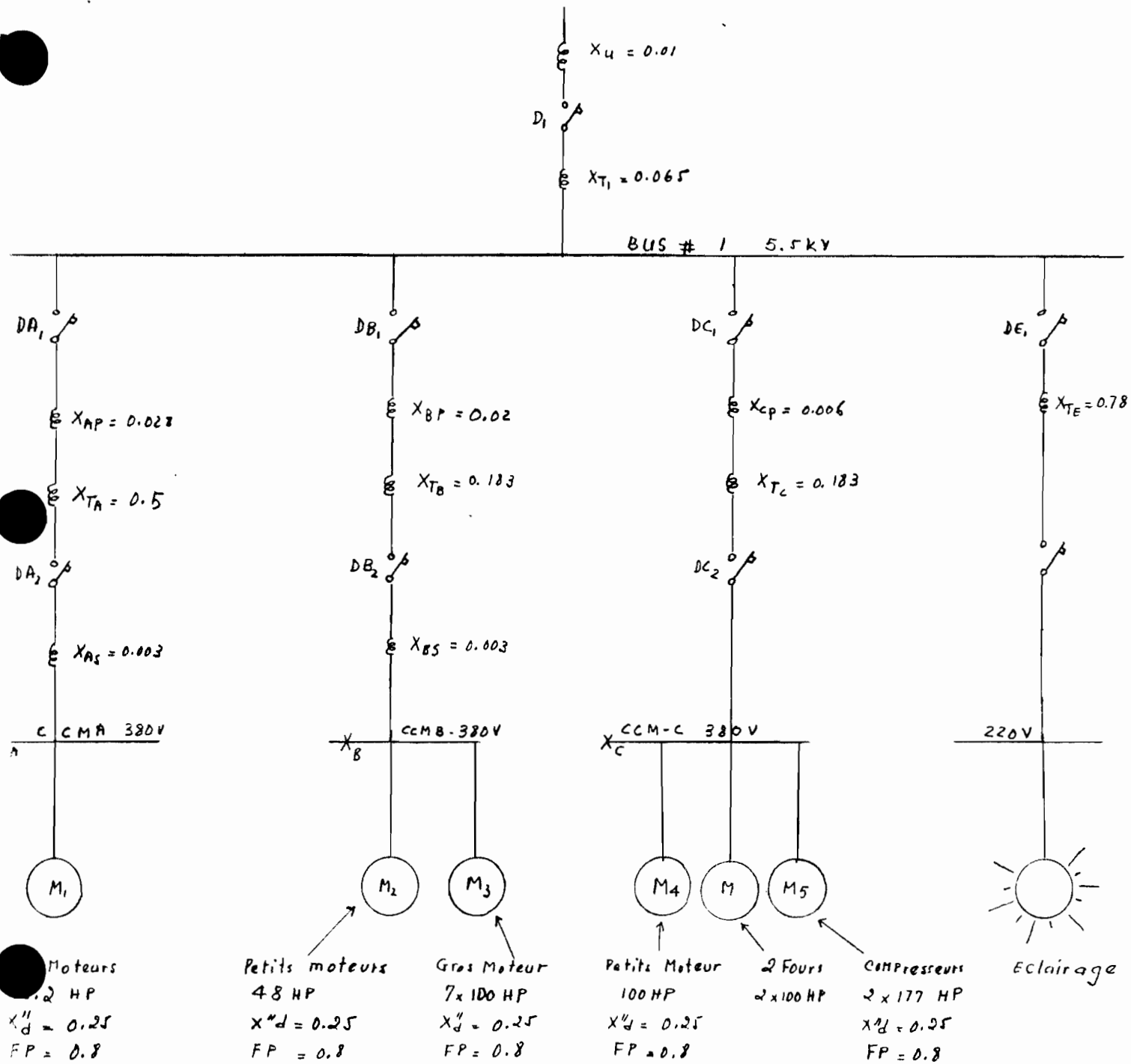
Primaire T_E ~ 0 m $X_{EP} = \approx 0$

Arrivée SENELEC - 250 MVA

$$X_4 = 2500 \text{ kVA}_B / 250000 \text{ kVA} = 0.01 \text{ pu}$$

Diagramme unifilaire d'impédances par unités

57



10.4 CALCUL des COURANTS de COURT-CIRCUIT

faute au point D₁

$$I_H = \frac{2500 \text{ kVA}_B}{\sqrt{3} \times 30 \text{ kV}} = 48 \text{ A}$$

$$I_{coupure} = \frac{1}{0.01} \times 2500 \text{ kVA}_B \equiv 250 \text{ MVA}$$

$$\frac{250000 \text{ kVA}}{30 \text{ kV}} = 8300 \text{ A @ } 30 \text{ kV}$$

$$8300 \text{ A} \times \frac{30 \text{ kV}}{380 \text{ kV}} = 65800 \text{ A @ } 380 \text{ V}$$

$$I_{momentané} = 1.6 \times 250000 \equiv 400 \text{ MVA}$$

$$\frac{400000 \text{ kVA}}{30 \text{ kV}} = 13300 \text{ A @ } 30 \text{ kV}$$

$$13300 \text{ A} \times \frac{30 \text{ kV}}{380 \text{ kV}} = 105000 \text{ A @ } 380 \text{ V}$$

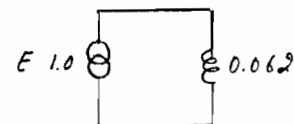
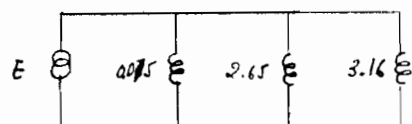
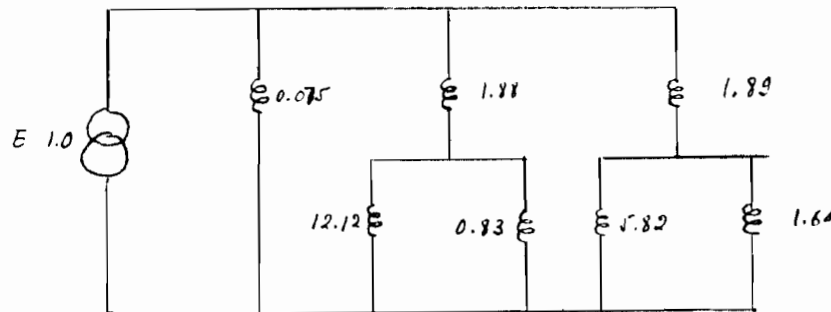
Choix du disjoncteur : D₁ 38 MG 500-6 30 kV

500 MVA - 630 A régime

8400 A coupure

13400 A Momentané

faute au point DAI



$$I_{symétrique} = \frac{2500 \text{ kVA}_B}{\sqrt{3} \times 5.5 \text{ kV}} / 0.062 = 4233 \text{ A} @ 5.5 \text{ kV}$$

$$4233 \text{ A} \times \frac{5.5 \text{ kV}}{0.380 \text{ kV}} = 61300 \text{ A} @ 380 \text{ V}$$

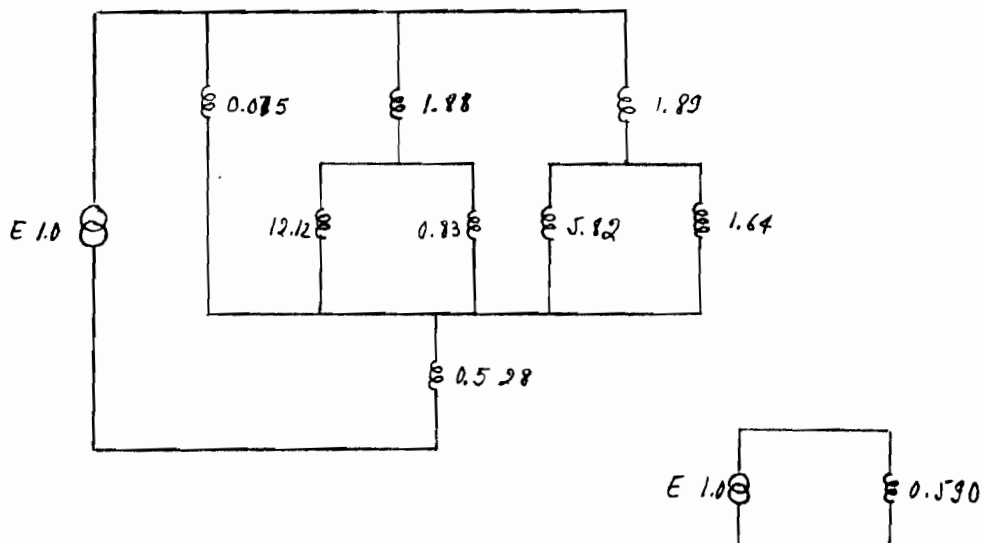
$$I_{asymétrique} = 1.6 \times 4323 = 6920 \text{ A} @ 5.5 \text{ kV}$$

momentanée

$$= 100000 \text{ A} @ 380 \text{ V}$$

choix du Disjoncteur : DA₁ 12 MG 250-6 7.2 kV
 150 MVA - 630 A régime
 12000 A coupure

Faute au Point DA₂



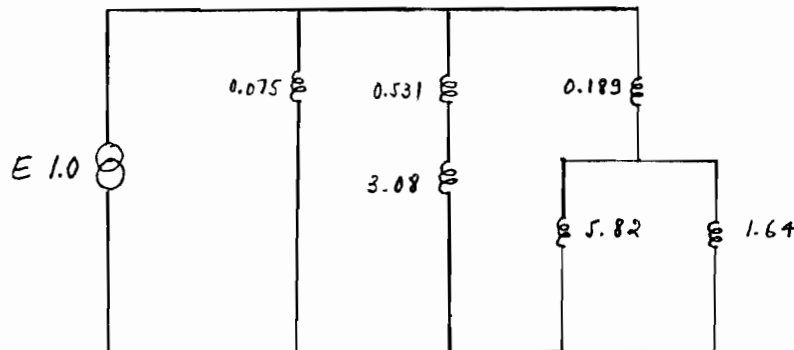
$$I_{\text{symétrique}} = \frac{2500 \text{ kVA}}{\sqrt{3} \times 0.380 \text{ kV}} / 0.59 = 6438 \text{ A} @ 380 \text{ V}$$

$$I_{\text{asymétrique}} = 1.6 \times 6438 \text{ A} = 10300 \text{ A} @ 380 \text{ V}$$

Choix du disjoncteur : DA₂ AK-15 - 380V

9000 A coupure

fuite au point DB1



$$I_{\text{symétrique}} = \frac{2500 \text{ kVA}_B}{\sqrt{3} \times 5.5 \text{ kV}} / 0.07 = 3749 \text{ A} @ 5.5 \text{ kV}$$

$$= 54264 \text{ A} @ 380 \text{ V}$$

$$I_{\text{asymétrique momentanée}} = 1.6 \times 3749 \text{ A} = 5998 \text{ A} @ 5.5 \text{ kV}$$

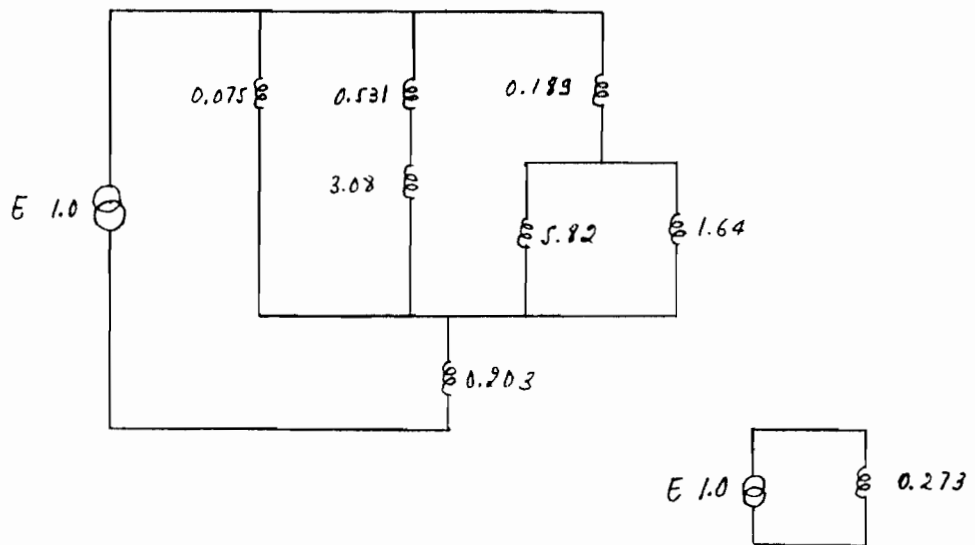
$$= 86822 @ 380 \text{ V}$$

choix du disjoncteur : DB1 12 MG 250-6 7.2 kV

150 MVA - 630A régime

12000 A coupure

faute au point DB2



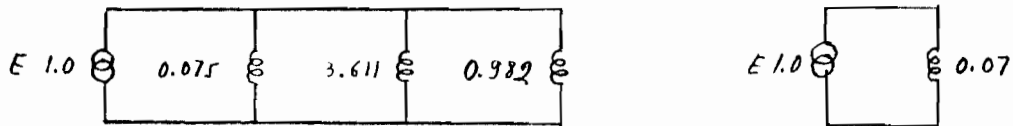
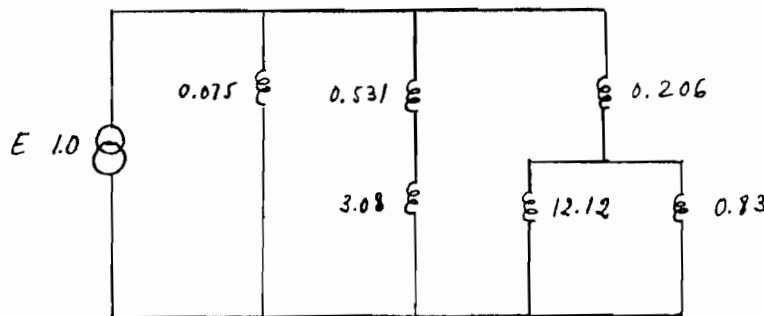
$$I_{\text{symétrique}} = \frac{2500 \text{ kVA}_B}{\sqrt{3} \times 0.380 \text{ kV}} / 0.273 = 13914 \text{ A} \\ @ 380 \text{ V}$$

$$I_{\text{asymétrique}} = 1.6 \times 13914 \text{ A} = 22262 \text{ A} @ 380 \text{ V}$$

Choix du disjoncteur DB2 : AK75 - 380V

22000 A Coupure

faute au point DC₁



Même niveau de faute - qu'au point DB₁ - donc :

$$\begin{aligned} I_{\text{symétrique}} &= 3749 \text{ A} @ 5.5 \text{ kV} \\ \text{coupure} &= 54264 \text{ A} @ 380 \text{ V} \end{aligned}$$

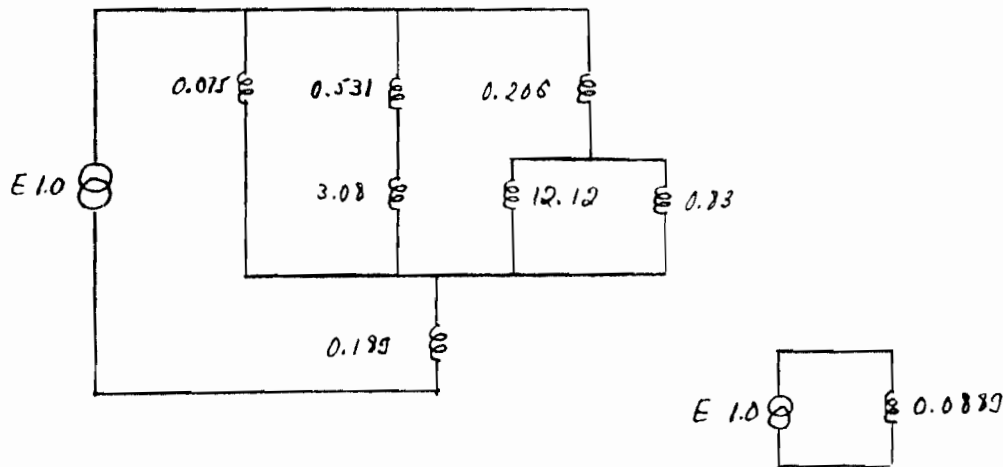
$$\begin{aligned} I_{\text{asymétrique}} &= 5998 \text{ A} @ 5.5 \text{ kV} \\ \text{momentanée} &= 86822 \text{ A} @ 380 \text{ V} \end{aligned}$$

choix du disjoncteur : DC₁ 12 MG 250-6 7.2 kV

150 MVA - 630 A régime

12000 A coupure.

faute au point DC₂



$$I_{\text{symétrique}} = \frac{2500 \text{ kVA}}{\sqrt{3} \times 0.380 \text{ kV}} / 0.0889 = 42730 \text{ A}$$

@ 380V

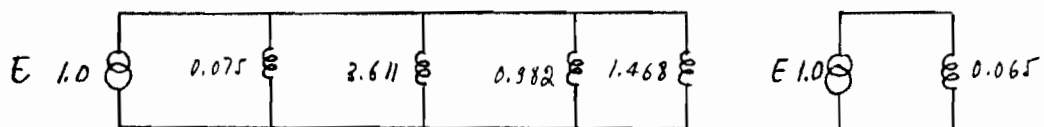
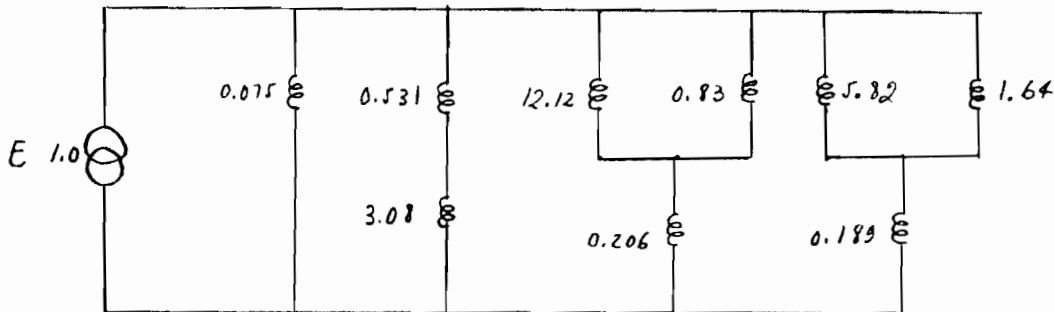
$$I_{\text{asymétrique}} = 1.6 \times 42730 = 68360 \text{ A} @ 380V$$

momentané

choix du disjoncteur : DC₂ AK75 - 380V

22000 A coupure

faute au point DE₁



$$I_{\text{symétrique}} = \frac{2500 \text{ kVA}_B}{\sqrt{3} \times 0.380} / 0.065 = 58440 \text{ A} \\ @ 5.5 \text{ KV}$$

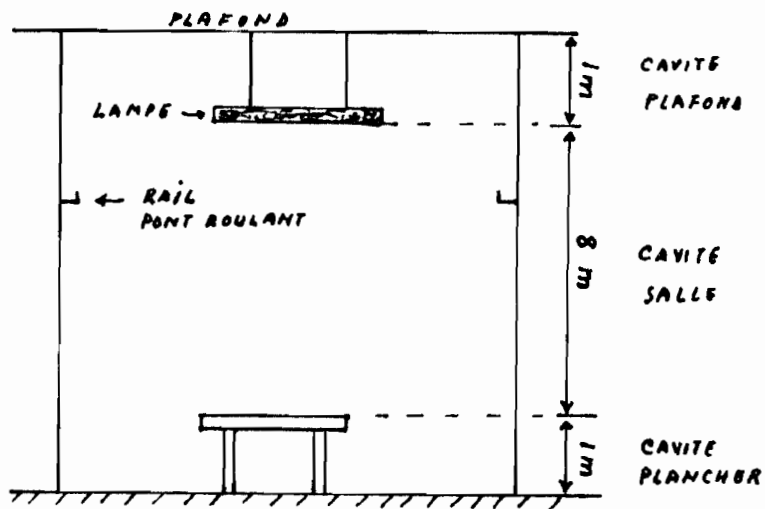
$$= 58440 \times \frac{5.5 \text{ KV}}{0.380 \text{ KV}} = 845810 \text{ A} \\ @ 380 \text{ V}$$

$$I_{\text{asymétrique}} = 1.6 \times 58440 \text{ A} = 93504 \text{ A} @ 5.5 \text{ KV}$$

$$= 1353000 \text{ A} @ 380 \text{ V}$$

Choix du disjoncteur : DE₁ 12 MG 750 - 17 7.2 KV
 550 MVA - 1750 A régime
 58 A coupe.

10-5 CALCUL de l'ECLAIRAGE des ATELIERS



Rapports de cavité

$$\text{Salle} = \frac{5 \times 75}{1250} \times 8 = 2.4$$

$$\text{Plafond} = -\text{--} \times 1 = 0.3$$

$$\text{Plancher} = -\text{--} \times 1 = 0.3$$

$$\text{Réflexion plafond} = 80\%$$

$$-\text{--} \quad \text{Plancher} = 30\%$$

$$-\text{--} \quad \text{Mur} = 50\%$$

$$\Rightarrow \text{Luminance cavité plafond} = 75\%$$

$$-\text{--} \quad \text{Plancher} = 74\%$$

Détail Luminaire

Reflecteur catégorie III \rightarrow facteur de dépréciation = 0.85

Coefficient d'utilisation CU = 0.69

Facteur de Correction = 1.06

$$\text{C.U corrigé} = 1.06 \times 0.69 = 0.73$$

Détail Lampe

Type FLUORESCENT F 40 CW

Lumen depreciation = 0.88

Seuil de Tension = 256 Volts

Ballast - Type 2-40 T12 / IS

Nombre de Luminaires =

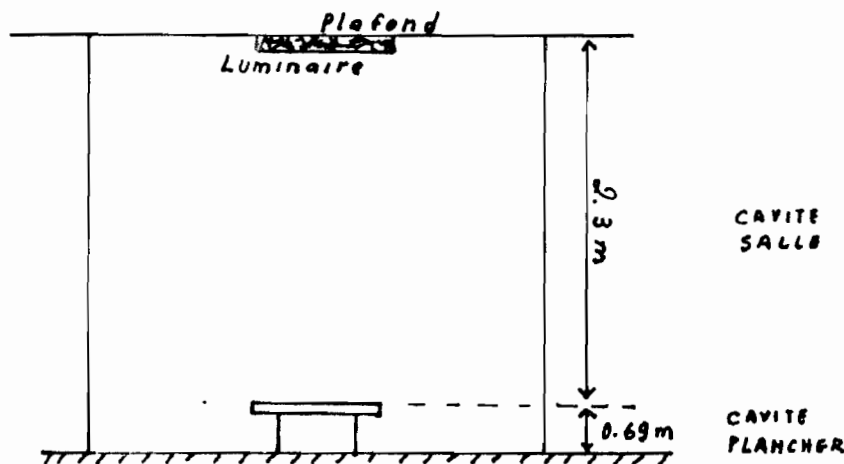
$$\frac{1250 \text{ m}^2 \times 600 \text{ Lux}}{2 \times 3150 \times 0.88 \times 0.73 \times 0.85} = 218 \text{ luminaires}$$

Espacement d

$$d \leq 1.2 \times 8 \text{ m}$$

$$d \leq 10 \text{ m}$$

10-6 CALCUL de l'ECLAIRAGE des BUREAUX ADMINISTRATIFS



Rapport de cavité

$$\text{Salle} = 5 \times \frac{15}{54} \times 9.3 = 3$$

$$\text{Plafond} = -\text{--} \times 0 = 0$$

$$\text{Plancher} = -\text{--} \times 0.69 = 0.9$$

$$\text{Reflexion Plafond} = 80\%$$

$$-\text{--} \quad \text{Plancher} = 20\%$$

$$-\text{--} \quad \text{Mur} = 50\%$$

$$\Rightarrow \text{Luminance - cavité plafond} = 75\%$$

$$-\text{--} \quad \text{Plancher} = 74\%$$

Détail Luminaire

Reflecteur à 2 Lampes

Coefficient d'utilisation $C_U = 0.48$

facteur de correction du $C_U = 1$

Detail Lampe

Type FLUORESCENT F 40 T10 / CW / 99

Lumen depreciation = 0.86

Seuil de Tension = 256 Volts

Ballast - Type d-40 T12 / IS

Nombre de Luminaires

$$\frac{54 \text{ m}^2 \times 1600 \text{ Lux}}{2 \times 3200 \times 0.86 \times 0.98} = \underline{\underline{33 \text{ Luminaires}}}$$

Espacement: d

$$d \leq 1.2 \times 2.3 \text{ m}$$

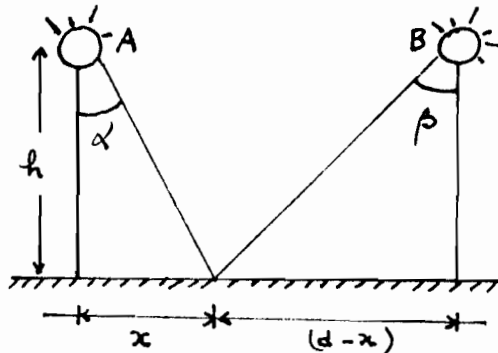
$$d \leq 2.76 \text{ m}$$

10.7 CALCUL de L'ECLAIRAGE EXTERIEUR

Nous cherchons le point entre deux lampes où le niveau d'éclairage est minimum. Étant donné qu'il y'a interference des deux lumières ; intuitivement, le point milieu sera le moins éclairé - C'est ce que nous allons vérifier -

- On cherche l'éclairage

- au point situé à une distance x du Luminaire A



$$\text{Contribution de } A : E_A = \frac{I}{h^2} \cos^3 \alpha$$

$$\text{Contribution de } B : E_B = \frac{I}{h^2} \cos^3 \beta$$

$$\text{Total } E_A + E_B = \frac{I}{h^2} (\cos^3 \alpha + \cos^3 \beta) = E$$

E : éclairage en Lux

I : intensité émise en Candela

$$\cos \alpha = \frac{h}{(h^2 + x^2)^{1/2}} \quad \cos \beta = \frac{h^2}{[(d-x)^2 + h^2]^{1/2}}$$

$$\frac{\partial E}{\partial x} = 0 \quad \Rightarrow \quad (x^2 + h^2)^{-1/2} = (d-x) [(d-x)^2 + h^2]^{-1/2}$$

On vérifie bien que $x = d/2$ (le milieu) est un point critique. Nous sommes maintenant sûrs que

le milieu des 2 Luminaires est un point d'éclairage minimum.

Pour calculer la distance minimum entre 2 Luminaires nous procéderons comme suit :

$$f_c = \frac{CP \cos \theta \times FM}{h^2} \quad \theta = \alpha = \beta$$

f_c = Foot Candle

CP = Candle Power

FM = facteur de maintenance
= 0.80

$$\cos \theta = \frac{f_c \cdot h^2}{CP \times FM} = \frac{h}{(d^2/4 + h^2)^{1/2}}$$

$$\Rightarrow d = 2h \left[\frac{(CP \times FM)^2}{(f_c \times h^2)^2} - 1 \right]^{1/2}$$

d = distance minimum

AIRE de STOCKAGE

lampe - H 37-5 KC / DX
250 W
13000 Lumen

$f_c = 2.3$

$CP = 1800 @ 45^\circ$

$h = 10m \approx 30 ft$

$$d = 2 \times 10 \left[\left(\frac{1800 \times 0.80}{(2.3/2)(30)^2} \right)^2 - 1 \right] = \underline{\underline{20 \text{ m}}}$$

CLOTURE

Lampe - H 37 - 5KC / DX
250W
13 000 Lumen

$$f_c = 1$$

CP = 1800 @ 45° même que précédent

$$h = 10 \text{ m} \approx 30 \text{ ft}$$

$$d = 2 \times 10 \left[\left(\frac{1800 \times 0.80}{(1/2)(30)^2} \right)^2 - 1 \right]^{\frac{1}{2}} = \underline{\underline{60 \text{ m}}}$$

Le choix d'un ($f_c = 1$) pour la clôture beaucoup plus faible que le f_c de l'aire de stockage ($f_c = 2.3$) se justifie par le fait qu'il n'est pas tellement nécessaire d'éclairer la clôture. Nous accordons de l'importance surtout au matériel stocké à l'air libre.

LUMINAIRE

Comme luminaires on prendra des réflecteurs en dôme à raison d'une lampe par réflecteur.

II. CONCLUSION et DISCUSSIONS

II.1 CONCLUSION

tout au long de cette présente étude, nous avons essayé de nous conformer le plus que possible à un certain nombre de critères d'évaluation dans le cadre de la méthodologie d'un design électrique. Critères que nous nous fixons au départ, à savoir :

- Sécurité maximale
- Versatilité de l'appareillage, flexibilité de l'installation.
- Centralisation des opérations.

Ces trois principaux critères justifient :

- l'utilisation massive des déclencheurs en surintensité variables (Ampektor Westinghouse) et des disjoncteurs d'intérieur à faible volume d'huile.
- l'uniformisation des câbles :
 - # 6, 7, 12 pour petits moteurs, circuits de commande et éclairage.
 - # 400, 500 MCM pour les transformateurs et gros moteurs.

- Centralisation des fonctions - à partir des Centres de Commande moteurs et panneaux d'éclairage.

II.2 - DISCUSSIONS

Dans cette phase finale de notre installation, nous allons porter une attention particulière - au calibrage des éléments de protection -

La première fonction d'un élément de protection est d'ouvrir un circuit et isoler par là, l'équipement électrique - qui est en danger. Danger du à une surcharge venant d'un -court-circuit ou d'une faute. Le temps de réponse de ces éléments est fonction de l'intensité du courant. Il sera long pour les faibles courants et ira en décroissant avec l'augmentation du courant pour atteindre une vitesse presque instantané (2 @ 3 cycles) pour les grosses fuites.

Il serait alors très souhaitable - que l'interruption de courant soit confinée dans la zone la plus restreinte possible - afin d'éviter les arrêts de tout un processus

Continu -

Les -appareillages doivent par conséquent être coordonnés

de manière à créer la discrimination entre eux.

Ainsi dans chaque circuit:

- Tous les éléments de protections doivent permettre le passage du courant de démarrage ($I_d \approx 6 I_N$) durant 5 secondes environ et le courant de pleine charge.
- Les transformateurs doivent permettre :
 - . le passage du courant de courant de magnétisation (INRUSH) = $8 I_N$ pendant 0.1 secondes
 - . le court-circuit aux bornes (POINT ANSI) - le transformateur T_1 30kV / 5.5kV laissera ainsi passer $17 I_N$ pendant 3 sec.

L'efficacité de cette coordination (discrimination) sera donnée par la sélectivité des éléments de protection dans leur fonctionnement.

BIBLIOGRAPHIE

1. Standard Handbook for electrical engineers - Section 10 - 421-528 power system electrical equipment.
FINK & CARROL 10th EDITION.
2. Practical Grounding - COPPER WELD BIMETALLICS DIVISION - INTERNATIONNAL INC. N.YORK.
3. Moteurs Asynchrones Triphasés 0.09 @ 450 KW
LEROY SOMMER
4. Westinghouse lighting Handbook -
WESTINGHOUSE CANADA LTD
5. Technical information from independant test report
6. Today's electrical practice - supply/distribution/
utilisation. in the industrial plant.
JAMES J. O'CONNOR, ASSOCIATE EDITOR - OCT. 1953.
7. Disjoncteur d'intérieur à faible Volume d'huile
Type MG - WESTINGHOUSE CANADA LTD - OCT. 1975

8. Industrial Power and systems coordination

CANADIAN GENERAL ELECTRIC 1972.

9. Circuits électriques (theorie et applications)

J. A. EDMONISTER Serie SCHAUM.

10. How to write electrical specifications -

ELECTRICAL CONSTRUCTION and MAINTENANCE .

11. Exercices sur les Montages électriques -

ANTONIO ROBERT T.D - Mars 1971.

12. Encyclopedie d'électricité - QUILLET.

13. Motor Application and Maintenance Hand book

SMEATON - Mc GRAW-HILL .